

G-C-W

'C

3065

1898

LiCl · n CH₃NH₂ (κ_D; ΔH_f[°])

Bonnefond M. J.,

C. r. Acad. sci., 1898, 127, 576

M



3088

Varet - ~~X~~

1895

Compt. rend. 121, 598 (1895).

LiCN; p-p; ΔH_f° ;

W 1



✓ (P)

1901

3063

Bonnefoi

1. Ann. chim. phys. 23, 317 (1901)

LiCl, LiCl.nNH₃, LiBr.nNH₃,

LiCl.nCH₃NH₂, LiCl.nC₂H₅NH₂ (kp. Hf°)

Circ. 500 M

314

1929

ZiCNS·H₂O, ZiCNS·2H₂O (Tm)

J. Russ. Phys.-Chem. Soc., 1929, 61,

939-45

Rostroosker A. P.



Be.

1928

3103

Simon ~~A.~~, and Glauner

1.Z.anorg.Chem. 178, 177 (1929)

 $\text{LiCl} \cdot n\text{CH}_3\text{NH}_2$, $\text{LiCl} \cdot n(\text{CH}_3)_2\text{NH}$, $\text{LiBr} \cdot n(\text{CH}_3)_2\text{NH}$, $\text{LiJ} \cdot n\text{CH}_3\text{NH}_2$, $\text{LiJ} \cdot n(\text{CH}_3)_2\text{NH}$, $\text{LiBr} \cdot n\text{CH}_3\text{NH}_2$ (kp, ΔH_f°)

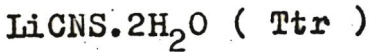
Circ. 500

M, B

err φ -k

315

1930



Iwase E.

Bull. Inst. Phys. Chem. Research
(Tokyo) 9, 541-3, (abstracts 52-3
in English) published with Sci.
Papers Inst. Phys. Chem. Researrh (Tokyo)
14, 257-9 (1930)

" Solubility of ...

Be



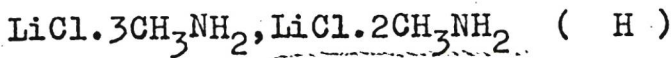
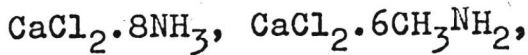
1931.

B9P-2281-IX

(T_{t²}) Howells W. Y.
J. Chem. Soc., 1931,
3208-12.

JX-1011

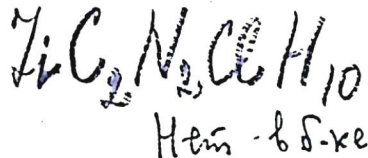
1931



Plank R., Vahl L.

Forsch. Gebiete Ingenieurw.,
Ausgabe A., 2, 11-8 (1931)

"The thermal properties of ...



M

1942

312

LiCN (Tm)

Lely J.A., Bijvoet J.M.

Rec. trav. chim. 1942, 61, 244-52

"Crystal structure of ...

Be

313

1953



Juza R., Hilzenbrand E.,
Z. anorgan. und allgem Chem.,
1953, 273, 297-311

CA, 1954, 25046



M

Ec. - Ph. R.

1964

Би-Х-3522

$2\text{CO}(\text{NH}_2)_2 \cdot \text{LiNO}_3$ (T_m)

Бернштам А.И., Ногаев К.,

ж. неорг. химии, 1964, 9,
1423 - 1426.

LiCNS

ВФ-3594-Х

1964

13 В9. Безводный роданид лития. Lee D. A. Anhydrous lithium thiocyanate. «Inorgan. Chem.», 1964, 3, № 2, 289—290 (англ.)

Путем нагревания смеси эквимол. кол-в $\text{LiOH} \cdot \text{H}_2\text{O}$ и NH_4CNS с последующим удалением из плава NH_3 и H_2O и растворением остатка в эфире получен $\text{LiCNS} \cdot (\text{C}_2\text{H}_5)_2\text{O}$ (I). Десольватация I в условиях вакуума при 25° приводит к образованию LiCNS (II), т. пл. которого 281° , $\rho = 1,43 \text{ г/см}^3$ при 26° . Теплота и энтропия плавления II равны соответственно $5,0 \pm 1,0 \text{ ккал/моль}$ и 9 ± 2 энтр. ед. на 1 моль; изменение объема при т-ре плавления равно $2,58 \pm 0,02 \text{ мл/моль}$. Разложение II начинается при 400° . Растворимость II при 26° в *n*-пропиламине, *втор*-бутиламине, Еп, Ру, 2-аминоэтаноле, ацетонитриле, фенилацетонитриле, формамиде, N-метилформамиде, N-метилацетамиде, N,N-диметилацетамиде, *n*-диоксане, тетрагидрофуране, этиленгликоле, монометиловом эфире, диэтилкарбитоле, *o*-нитрофенетоле, гликоле, спиртах (от метанола до октанола), бензиловом

[Х-3594]

Х. 1965. 13

спирте, 1,3-пропандиоле, ацетоне 2,4-пентадионе, пропио-
феноне, динизобутилкетоне, метилизопропилкетоне, сали-
цилальдегиде, этилацетоацетате превышает 10 мг/мл. II
нерасторовим в N,N-диметиланилине-N-метилдифенила-
мине, 2,5-диметилфуране, фенетоле, о-ксилоле, о-нитрото-
луоле, бензоле и петр. эфире. Э. Раков

1964

$C_6H_2(NO_2)_3Li$ (ns) (DHf)

Тригалова Н.М.,

Непалпные образования неко-
торых перхлоратов, хлоратов
и некратов
диссертации), ● (автография
Москва, 1964.

1964

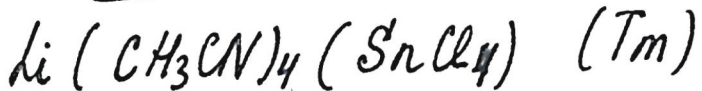


Грибанова А.М.,

изделии
перхлоратов, образование некоторых
(автореферат хлоратов и некрасов
диссертации),
Москва, 1964.

1967

Bsp - VI - 5738



Reedijk J., Froenenveld W. L.,
Rec. Trav. Chim. Pays-Bas, 1967,
86 (12), 1103-26.

$\text{NH}_4[\text{CONH}_2\text{O}]$, $\text{Li}[\text{CONH}_2\text{O}] \cdot 0.5\text{NH}_3$, 14 10 1968

$\text{Na}[\text{CONH}_2\text{O}]$, $\text{K}[\text{CONH}_2\text{O}]$, $\text{Rb}[\text{CONH}_2\text{O}]$, 5.6

$\text{Cs}[\text{CONH}_2\text{O}]$, $\text{Mg}[\text{CONH}_2\text{O}]_2 \cdot 2\text{NH}_3$, $\text{Ca}[\text{CONH}_2\text{O}]_2 \cdot \text{NH}_3$, VI 5/249

$\text{Sr}[\text{CONH}_2\text{O}]_2$, $\text{Ba}[\text{CONH}_2\text{O}]_2$, $\text{Pb}[\text{CONH}_2\text{O}]$, $\text{Zn}[\text{CONH}_2\text{O}]_2 \cdot 2\text{NH}_3$,

$\text{Ni}[\text{CONH}_2\text{O}]_2 \cdot 6\text{NH}_3$, $\text{Cu}[\text{CONH}_2\text{O}]_2 \cdot 4\text{NH}_3$, $\text{Mn}[\text{CONH}_2\text{O}]_2 \cdot 4\text{NH}_3$,

$\text{Ag}[\text{CONH}_2\text{O}]_2 \cdot 2\text{NH}_3$ (SHF)

Bernard M. A., Bozec M.-M.,

3

Bull. Soc. chim. France, 1968, N°, 2362-2366 (ppaux)

Étude thermochimique de quelques carbamates

P.H. Klemm, 1969

O_2 K. M (cp)

W

46831

$\text{Li}_2\text{C}_2\text{N}_3\text{H}_7\text{O}_4$

$\text{Li}(\beta)\text{C}_{32}$; $\beta = [(\text{CH}_3)_2\text{N}]_3\text{P}\rightarrow\text{O}\bar{x} 3941$
 $\text{Na}(\beta)\text{C}_{27}$ BP-3941-X 1968

Ginderow D., Letton R.,
Carbon, 1968, 5, 81-83
new graphite lamellar
compounds

PX 1969 15484

ECLL
JW
CP

V-6266

1968

$M(MeCr)_n Me(Cl_4)_m$, z.g. $M = B, Al,$
 $Li, Na, Be, Mg, Ca, Sr, Ba, Mn, Co, Cu, Zn$ u.a.
(Tm)

Reedijk J., Groenveld W.L.,
Recueil trav. chim.

Li₂CuNi₃Cl₆ 1968, 87, 573-597
prex, 1969, 7B153 5

LiNO₃ · 2CO(NH₂)₂ 1969

LiNO₃ · NH₄NO₃

T_m

36347u Reaction of urea with lithium and ammonium nitrates. Berginan, A. G.; Shul'ga, N. A. (USSR). *Zh. Neorg. Khim.* 1969, 14(11), 3155-7 (Russ). Phase diagrams of the LiNO₃-CO(NH₂)₂-NH₄NO₃ system are presented. The system forms: eutectic E_1 at 34° and LiNO₃ 7 and CO(NH₂)₂ 59 mole %; eutectic E_2 at 65°, and LiNO₃ 32 and CO(NH₂)₂ 22 mole %; peritectic point at 81° and LiNO₃ 19 and CO(NH₂)₂ 38 mole %; and a transition point at 87° and LiNO₃ 30 and CO(NH₂)₂ 4 mole %. Crystn. fields of LiNO₃.2CO(NH₂)₂, m. 126°, and

LiNO₃.NH₄NO₃, m. 118°, occupy 21 and 0.5% of the total crystn. surface, resp.

HMJR

C.A.

1970.72.8

+1

X

CN, LiCN, RbCN, CsCN (6Hg) 1969

CN (6Hg) 10 14 X 4635

Add. M.F.C.

Trans. Faraday Soc., 1969, 65, 110

2712 - 2717 (Disc.)

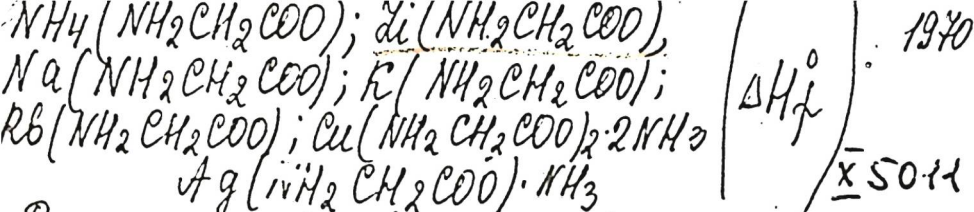
Energetics of uni-electrovalent
cyanides, and the distribution of
charge on the cyanide ion.

Pittman, 1970 ✓

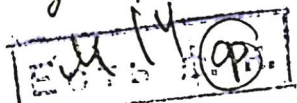
12/5/120

○

M (p) 10



Bernard. cl. A., Busnot A., Decker N,
 Bull. Soc. Chim. Fr., 1970, № 7, 2475-8 (франц.)
 Metallic glycinate: III. Thermochemical
 mixture of Group IA and IB glycinate.



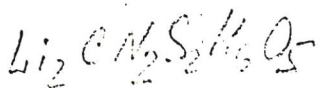
CA, 1970, 73, N26, 1344846

$\text{Li}_2\text{SO}_4 \cdot \text{NH}_2\text{CSNH}_2 \cdot \text{H}_2\text{O}$ (spay. group.) 1970

Udupa M.R., Areparamudan G., \bar{x}^{20} 4795

Cover. Sci., 1970, 39, № 4, 84-5 (ann.)

Systems lithium sulfate - thiourea -
water at 30°.



7

E.C.N. Ф. К.

Б РР



CA, 1970, 72, N22, 11530/e

³: CNS

Wieseroff. Mem; US Coop: - nepalensis
Hanss, Annals Naturforsch. 1972
Hanss, Zool Verhandl (Otag) 1972

Gill D.S., Singla J.P., A-1979

Paul R.C., Narula S.P.

J. Chem. Soc. Dalton Trans.,
1972, N4, 522-24

cell. spec

B

(P)

CA 72

LiNCS - NH₃

BP - 4583-X

1972.

143960p Thermodynamic and physical properties of ammonia-lithium thiocyanate system. Macriss, Robert A.; Punwani, Dharamvir; Rush, William F.; Biermann, Wendell J. (Inst. Gas. Technol., Chicago, Ill.). *J. Chem. Eng. Data* 1972, 17(4), 443-6 (Eng). Vapor pressure data obtained in the concn. range of 40 to ~60 wt. % LiNCS in NH₃ and for pressures of 15-200 psia show extremely high neg. deviations from Raoult's law. The data were used to compute heats of vaporization from these solns. Viscosity data were obtained at 75-200°F and concns. to ~60 wt. % salt. The data fit Andrade's equation and produce straight lines amenable to extrapolation to higher temps. The ds. of the solns. were also measured.

T.g. curve-
ma :

C.A. 1972. 77. n22.

LiCN
LiNC

Clementi E.;
et al

1973

(∞_0) "J. Chem. Phys"
1973, 58, N 6, 2460-66.

● (ccs LiCN; III)

Li-N

Li-sparge

Bp-79.25-X

1973

35764k Anomalous specific heat in ferroelectric lithium ammonium tartrate monohydrate. Makita, Yasuharu; Wada, Kiyoshi (Fac. Sci., Sci. Univ. Tokyo, Tokyo, Japan). *J. Phys. Soc. Jap.* 1973, 34(4), 1111 (Eng). The excess heat capacity

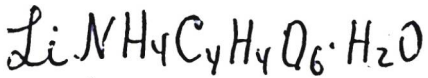
C_p; ΔS_{t₁}

ΔH_{t₂}

obsd. for the title ferroelec. at 80-100°K was related to a 2nd-order transition. The estd. entropy and heat of the transition were $\Delta S = 0.47 \text{ cal/mole degree}$ and $\Delta Q = 42 \text{ cal/mole}$, resp.

C.J. 1973, 79 N6

5451



ВФ-7925-Х 1973

21 Б620. Аномальная теплоемкость ферроэлектрика
 $\text{LiNH}_4\text{C}_4\text{H}_4\text{O}_6 \cdot \text{H}_2\text{O}$. Makita Yasuharu, Wada
Kiyoshi. Anomalous specific heat in ferroelectric
 $\text{LiNH}_4\text{C}_4\text{O}_6 \cdot \text{H}_2\text{O}$. «J. Phys. Soc. Jap.», 1973, 34, № 4,
III (англ.)

В интервале 80—220° К измерена теплоемкость $\text{LiNH}_4\text{C}_4\text{H}_4\text{O}_6 \cdot \text{H}_2\text{O}$ и обнаружено фазовое превращение второго рода. Темпера^ттура превращения оценена в 42 кал/моль, а энтропия в 0,47 э. е. Теоретич. расчет энтропии превращения по ур-нию $\Delta S = 2\pi p_s^2/c$ (1), (где p_s — поляризация, c — константа Кюри) дал величину $\Delta S = 0,29$ э. е. Предполагается, что причиной расхождения являются как неточное определение величины p_s , так и неточность уравнения (1). П. М. Чукров

(C_P)

Х. 1973 № 21

$(\text{LiNCO})_3$

Вр -80°С -Х

1973

LiNCO

4 В9. Получение и термическое разложение циануратов лития. Простой метод получения безводного цианата лития. Nachbaur E., Schobeg W. Darstellung und thermische Zersetzung von Lithiumcyanuraten. Eine einfache Methode zur Gewinnung von wasserfreiem Lithiumcyanat. «Monatsh. Chem.», 1973, 104, № 2, 538—544 (нем.; рез. англ.)

Взаимодействием $\text{LiOH} \cdot \text{H}_2\text{O}$ (I) с $(\text{HNCO})_3$ (II) в мол. отношении 1 : 1 в н-бутаноле при комн. т-ре получен $\text{LiH}_2(\text{NCO})_3$ (III). Р-ция I с II в мол. отношении 2 : 1 при т-ре кипения приводит к образованию $\text{Li}_2\text{H}(\text{NCO})_3$ (IV). При взаимодействии I и II в мол. отношении 3 : 1 в н-бутаноле и тетрагидрофурфуриловом спирте при т-ре кипения приводит лишь к образованию смеси III и IV. Изучение твердофазной р-ции I или Li_2CO_3 (V) с II методами ДТА, ТГА и ИК-спектроскопии до 650° в среде N_2 указало, что уже в процес-

(T_m)
 $= 490^\circ\text{C}$

Х/973/0/4

се перетирания исходных в-в при коми. т-ре образуются III и IV. При нагревании до 150° из циануратов Li в смеси присутствует лишь IV. При $400-50^{\circ}$ III и IV переходят в $(\text{LiNCO})_3$ (VI), устойчивый до 550° . Термолиз VI при 550° приводит к образованию продукта, на 84—86% состоящего из LiNCO (VII) и 14—16% V. Отделение VII от V произведено экстракцией его в EtOH с последующей отгонкой EtOH в вакууме или высаливанием из р-ра C_6H_6 . Чистота образующегося VII $\geq 99\%$, т. пл. 490° . При нагревании $>500^{\circ}$ VII разлагается на V, LiCN, CO_2 и N_2 . Для получения VII можно использовать также термолиз IV, однако в этом случае на 2 эквивалента VII образуется 1 эквивалент HNCO.

М. Б. Варфоломеев

1974

X-8554

$\text{LiSCN} \cdot h$, $\text{LiSCN} \cdot 2h$, ($h = [\text{Me}_2\text{N}]_5^{\text{P}}$)
(Tm)

Luehrs D.C., Kohut G.P.,
J. Inorg. and Nucl. Chem.,
1974, 36, N7, 1459-1460.
hexanethylphos. phoramide solvates
of ...

1974

X-8554

 $\text{LiNO}_3 \cdot \text{L} (\text{Tm}) ; \quad \text{L} = [\text{Me}_2\text{N}]_3 \text{PO}$

lue hrs D.C., Kohut g.p.,

g. Inorg. and Nucl. Chem., 1974,
36, N⁷, 1459-60.

Hexamethylphosphoramide solvates of ...

LisCN Lansmeca A-3845 | 1978

Kerridge D.H.
(Tm) Adv. Molten Salt Chem
Vol 3. New-York - London,
1975, 249-73

The chemistry of thiocyanate,,

* 4 - 10066

1975

LICR

ЗБ1054. Энергии диссоциации цианидов щелочных металлов. Mulvihill Juliet N., Phillips Leon F. Dissociation energies of alkali metal cyanides. «Chem. Phys. Lett.», 1975, 33, № 3, 608—611 (англ.)

(20⁰)

Методом пламенной фотометрии определены константы равновесия газовых р-ций $M + HCN \rightleftharpoons MCN + H$ ($M = Li, Na, K, Rb$ и Cs) при $T = 1500^{\circ}K$. По 3-му закону вычислены энталпии ΔH_1^0 (р-ции 1) и энергии диссоциации D_0^0 ($M-CN$) для $M = Li, Na, K, Rb, Cs$ соотв. 2 ± 9 и 497 ± 22 ; 24 ± 9 и 474 ± 22 ; 2 ± 9 и 497 ± 22 ; 12 ± 9 и 487 ± 22 ; -2 ± 9 и 501 ± 22 кДж/моль. Полученные результаты находятся в противоречии с лит. данными.

М. В. Коробов

0156

1

14)

6

X1976 №3

(44)

18

Li·MeOH; Li·HCONH₂; HCONHCH₃·4i ;(K_p) | 1975

Nakamura Toshio X-9268

Bull. Chem. Soc. Jap., 1975, 48, NS, 1447-1451 (an.)

The complexing of the lithium ion in aceto-nitrite with other solvents. Investigation by the use of a cationsensitive glass electrode.

PTH Yush, 1975 ()

23B35

B (P)

LiCN (SHaq, SHF) BX-468 1977

CN⁻ (SHF, SHaq) X-17506

Jenkins H.D.B., Pratt K.F., Waddington T.C.

J. Inorg. and Nucl. Chem., 1977, 39, N₂, 213-220 (ann.)

Lattice potential energies of orthorhombic and cubic cyanides of the alkali-Er metals. Enthalpy of formation, $\Delta H_f^\circ(CN)(g)$ and solvation, $\Delta H_{soln}^\circ(CN)(g)$ of gaseous cyanide ion. Experimental determination ...

PHX-468, 1977

B M (ab)

100
To the Best of my

1978

ΔH°_f ($H_3N^+K^+$, $C_2H_3NH_2K^+$, $(CH_3)_2NHK^+$,
 $(CH_3)_3N^+H_2OK^+$, $(CH_3)_2O^-K^+$, CH_3CNK^+
 $H_3N^-Li^+$; $C_2H_3NH_2Li^+$; $(CH_3)_2NHLi^+$, $(CH_3)_3N^-Li^+$;
 H_2OLi^+ , $(CH_3)_2OLi^+$, CH_3CNLi^+) BX-1344

Kol Coleman P.

Chem. Phys. Lett., 1978, 55, no. 555-559/see
Theoretical studies of the K^+ affinities
of bases: a comparison of K^+ and Li^+
affinities. 12

Proc. Phys., 1972, 10D+29 10, no. ④

LiH_2O^+ , $\text{H}_2\text{CO}_4\text{Li}^+$, HCNLi^+ ,
 $\text{Et}_2\text{OH}\text{Li}^+$, Me_2OLi^+ , NH_3Li^+ , MeNH_2Li^+ , $\text{Me}_3\text{N}\text{Li}^+$,
 $\text{Me}_2\text{NH}\text{Li}^+$ (ΔG , $T\Delta S$) 1978
13X-1138

Woodin R.I., Beauchamp J.L.

J. Amer. Chem. Soc., 1978, 100, N^o. 501-503 (ann.)

Binding of Li^+ to Lewis bases in the gas phase. Reversals in methyl substituent effects for different reference acids.

RH Xu et al., 1978

145912

M₃HO 

1979

LiSCN

LiAsF₆

LiCl

LiBr

LiI

(Kc)

+4

A

X.1979 N16

19 Б1435. Исследование электропроводности солей лития в ацетонитриле при 25°. Hopkins Harry P., Jahagirdar D. V., Norman Alan B. Conductance studies on lithium salt-acetonitrile solutions at 25° C. «J. Solut. Chem.», 1979, 8, № 2, 147—155 (англ.)

При 25° и изменении конц-ии солей от $0,1 \cdot 10^{-3}$ до $4 \cdot 10^{-3}$ М определена и табулирована электропроводность (Эп) р-ров LiCl (I), LiBr (II), LiI (III), LiSCN (IV), LiAsF₆ (V) и NaPh₄B (VI) в безводн. ацетонитриле. Установлено, что для III, V и VI константы ионной ассоциации (K_A) малы. Для этих солей данные по Эп описываются теор. ур-ием Фуосса—Онзагера. По ур-иям Фуосса значения K_A для I, II и IV найдены равными 3500, 150 и 1730 M⁻¹. Предельная эквивалентная Эп уменьшается в ряду IV>V>III>II>I, т. е. чем меньше анион, тем более высокий эффективный ионный радиус он имеет. Обсуждены закономерности сольватации анионов молекулами ацетонитрила.

B. B. Сергиевский

MX ($M = Li, Na, K, Rb, Cs, Mg, Ca, Sr, Ba, NH_4$, 1979)

$4O_2$; $X = F, Cl, Br, I, CNS, SO_4, NO_3, BiO_3, CO_3, NO_2,$
 $(ClO_4, CeO_3)(\Pi_P)$ BX - 1910

Кунюк В.Н., Кулешова О.И.

Томск. уч-т, Томск, 1978, 14с. Рукопись Зен. 6
ОНИИЧГЭХИИ г. Черкассы 5 фебр., 1979г. №2359/79.2н)
Однотипная проба бесстабильных расщепляющихся газов хорошо
расстворимых соедин.

РДН Челн., 1979

1061276 Ден.

B (P)

1980



9 Б709. Термодинамические свойства соединения «растянутого» металла — тетракисметиламинлития (0). Buntaine J. R., Sienko M. J. Thermodynamic data for the expanded-metal compound tetrakis(methylamine)-lithium(0). «J. Less-Common Metals», 1980, 76, 1—6 (англ.)

Методом дифференциального термич. анализа исследованы термодинамич. св-ва системы Li — метиламин (I). Р-рением металлич. Li в I получены образцы «растянутого» металла, содержащие 1,0; 10,0; 14,6; 16,4; 18,0 и 19,7 моль.% Li. В интервале 77—300 К изучено поведение этих образцов при нагревании со скоростью 1 град/мин. Установлено, что в термограммах всех образцов на кривых ДТА наблюдаются 3 эндоэффекта, 2 из к-рых при т-рах 144,8—145,2 К и 153,0—155,8 К очень острь. Эндоэффект при ~145 К объяснен либо фазовым переходом в тв. образцах, либо разложением.

T_m , ΔH_m

X. 1981 N 9

Сес Li - I

Li(MeNH₂)₄ (II) до тв. Li и I. Эндоэффект при ~154 К обусловлен плавлением либо смеси Li с I, либо II. Третий эндоэффект, наблюдаемый в интервале 160—180 К, объяснен инконгруэнтным плавлением избытка I. Определены энтальпии эндоэффектов при 144,8 и 154,3 К для II, равные $1,5 \pm 0,4$ и $2,0 \pm 0,4$ кДж/моль. Эти величины сопоставлены с энтальпиями плавления Li, Li(NH₃)₄, C(CH₃)₄ и отмечено, что в структуре II сохраняется близкий порядок при плавлении.

П. М. Чукров

проверено

(LiNCS)₂

1980

7 Б1476. Изучение ассоциации ионов в аprotонных растворителях методом колебательной спектроскопии. IV. Коэффициенты активности и термодинамические характеристики димеризации LiNCS в растворителях с низкой диэлектрической проницаемостью. Chabanel M., Paoli D. Etude vibrationnelle des associations ioniques dans les solvants aprotique. IV.—Coefficients d'activite et grandeurs thermodynamiques de dimerisation de LiNCS dans des solvants de basse constante dielectrique. «J. chim. phys. et phys.-chim. biol.», 1980, № 10, 913—918 (франц.; рез. англ.)

Методами ИК- и КР-спектроскопии при т-ре 25° изучено состояние LiNCS в диэтил- (I) и диметилкарбонатах (II), а также в бутилацетате (III) в зависимости от конц-ии соли (C) и диэлектрич. проницаемости (D) среды. Показано, что LiNCS в I—III существует в виде ионных пар (ИП), к-рые поглощают в области

Калининград,

Софий, Амстердам,

Бонн.

X. 1981 г.

от 2063 до 2074 см⁻¹, и димеров, поглощающих в области от 2027 до 2038 см⁻¹. Определены константы димеризации LiNCS (K_D), свободные энергии (ΔG), энталпии (ΔH) и энтропии (ΔS) димеризации. Значения K_D , ΔG , ΔH (КДж/моля) и ΔS (э. ед.), полученные экстраполяцией к состоянию бесконечно разбавленного р-ра, для I равны соотв. 5,1; -9,7; 0 и 33; для II соотв. 8; -5,7; 10 и 51; для III соотв. 3,7; -3,2; 9 и 40. Положит. знак ΔS свидетельствует о разрушении сольватных оболочек ИП в процессе димеризации. Коэф. активности ИП снижаются с увеличением $C_{ИП}$ и с уменьшением D . Сольватные числа для ИП составляют 3—4. Результаты, полученные методами ИК- и КР-спектроскопии, удовлетворительно согласуются с данными измерений D .

Д. А. Федосеев

Li - CH₃NH₂

1980

93: 246354d Phase diagram of the lithium-methylamine system. Hagedorn, R.; Lelieur, J. P. (Lab. Etud. Surf. Interfaces, CNRS, 59046 Lille, Fr.). *J. Phys. Chem.* 1980, 84(26), 3652-4 (Eng). DTA expts. are reported for the Li-MeNH₂ system at temps. between liq.-nitrogen and room temp. A compd. exists between Li and MeNH₂. Comparisons with the Li-NH₃ system are made.

*Pazot,
Guarip.*

O.S. 1980. 93 N 26

LiNCO

1980

NaNCO

KNCO

Δf_f ; ΔH_f

+2

X. 1980 N 19

19 Б1476. Изучение ионной ассоциации в аprotонных растворителях методом колебательной спектроскопии. III. Термодинамические параметры ассоциации ионов цианатов щелочных металлов в ионные пары в диметилсульфоксиде. Rannou J., Chabanel M. Etude vibrationnelle des associations ioniques dans les solvants aprotiques. III Grandeurs thermodynamiques d'association a l'état de paires d'ions des cyanates alcalins dans le dimethylsulfoxyde. «J. chim. phys. et phys.-chim. biol.», 1980, 77, № 3, 201—204 (франц.)

Методом ИК-спектрофотометрии в интервале т-р от 18 до 70° получены термодинамич. параметры образования ионных пар (IP) $M^+—NCO^-$, где $M=Li, Na, K$, в ДМСО. Константы образования IP (K , моль $^{-1}$) станд. свободная энергия, (ΔG° , кДж/моль), энталпия (ΔH° , кДж/моль) и энтропия (ΔS э. е.) для LiNCO равны 110 ± 10 , $-11,6 \pm 0,3$, $1,2 \pm 0,1$ и 43 ± 4 соотв.; для NaNCO 46 ± 5 , $-9,5 \pm 0,3$; $3,2 \pm 0,5$; 43 ± 5 соотв.; для KNCO 16 ± 4 ; $-6,9 \pm 0,8$, $0,5 \pm 1,5$ и 25 ± 5 соотв.

Обсуждается возможная структура IP (контактные или расчлененные р-рителем). Показано, что р-ция ассоциации имеет атермич. характер и м. б. описана на основе схемы предпочтительной сольватации в 1-й координат. сфере катиона: M^+ , $n\text{DMSO} + \text{OCN}^- = M^+ \cdot \text{NCO}^- \cdot (n-1) \text{ DMSO} + \text{DMSO}$. Д. А. Федосеев

И Т-
ОНС-

LiCN

1981

part. reflexes

1981: 156769e On the phase transition in alkali cyanides. De Raedt, B.; Binder, K.; Michel, K. H. (Inst. Festkoerperforsch., KFA-Juelich, D-5170 Juelich, Fed. Rep. Ger.). *J. Chem. Phys.* 1981, 75(6), 2977-86 (Eng). The phase transition in alkali cyanides is studied starting from a Hamiltonian contg. a bilinear coupling term between translational and rotational degrees of freedom, thus leading to an effective rotational interaction. The problem can be reformulated in terms of elasticity theory and the effective rotational interaction then becomes an interaction between elastic dipoles. The phase transition is of 1st order. The long range nature of the elastic dipole forces which would lead to a shape dependence of the system for monodomain samples is responsible for the breakup of the ordered phase into domains.

⊗ (74)



NaCN, KCN, RbCN,
CsCN

C.A. 1981, 95, N18.

$\text{Li}(\text{CH}_3\text{NH}_2)_4$ Omnuck 14465/α" 1982
,"

Бергкомиссии
Райн.

Маритим.

Соенпурни-
и Сосни.

Stacy A.M., John-
son D.C., et al.,

J. Chem. Phys., 1982,
76, N 8, 4248-4254

Li_2NC

1983

Wu C.H.

Mesopro-
zessorep.
Xapakme-
peremiksu

Ber.-Kernforschungsan-
lage Jülich, 1983,
N 1878, 113 pp., ill.

(Coll. $\text{Li}_2\text{H}; \text{I})$

LiNC₍₂₎ 1983
Li₂NC₍₂₎ Wu C. H.

Ber. Kernforschungs-
mepuog. Sanlage Juelich
cb-6a 1983, Teil -1878, 47 pp.

(civ. LiH₍₂₎; I)

ZINC

1983

Wu C. H.

MEDICO-
GERMOLOGIC,
XAPAKME-
PUEMUKER

Ber. Kernforschungsan-
lage Jülich, 1983,
N 1878, 113 pp., ill.

(Col. ZINC; I)

[Om. 23032]

1985

(LiNC₅)₄

aq.

Kim Y.H., Paoli D.,
Chabane M.,

mercur-
cb-Ba

C. r. Acad. Sci., 1985,
sér. 2, 301, N° 15,
1113-1115, 1117-1118

CH₂Ndi PM. 24002 1986

Armstrong D.R., Walker
G.T.,

fullmpom.
empyrm.

J. Mol. Struct. Theochem,
1986, 137, N 3-4, 235-

- 261.

LiSCN

1990

№ 9 Б3174. Калориметрическое и спектроскопическое изучение растворов LiSCN в аprotонных растворителях. Calorimetric and spectroscopic studies of LiSCN solutions in aprotic solvents / Góralski P., Tanlewska-Osińska S., Le Goll D., Chabanel M. // J. Chem. Soc. Faraday Trans.— 1990.— 86, № 18.— С. 3103—3106.— Англ.

(Англ.)

В области т-р 5—45° С с использованием изопериболович. калориметра определены энталпии р-рения, ($\Delta_{sol}H$) LiSCN (I) в таких слабополярных аprotонных р-рителях, как ГМФА, ДМСО, ДМФА, пропиленкарбонат (ПК) и ацетонитрил (АН) при конц-иях I 0,002—0,2 Мл, а также энталпии разбавления р-ров. Методом ИК-спектроскопии в обл. 2000—2100 см⁻¹ определены константы равновесия и энталпии ионной ассоциации I в ПК и АН. Методом Крисса и Коббле получены станд. $\Delta_{sol}H^0$ в сильно ионизирующих ГМФА и ДМСО. Объединение спектральных и калориметрических данных позволило рассчитать $\Delta_{sol}H^0$ в трех других р-рителях, где ионная ассоциация особенно сильна. Величина $\Delta_{sol}H^0$ зависит, гл. обр., от основности растворителя.

Л. В. Арсеенков

Х. 1991, № 9

LiSCN

1990

113: 219090q Calorimetric and spectroscopic studies of lithium thiocyanate solutions in aprotic solvents. Goralski, Paweł; Taniewska-Osinska, Stefania; Le Goff, Didier; Chabanel, Martial (Dep. Phys. Chem., Univ. Lodz, 91-416 Lodz, Pol.). *J. Chem. Soc., Faraday Trans.* 1990, 86(18), 3103-6 (Eng). By using a calorimetric method, enthalpies of soln. of LiSCN in five weakly polar aprotic solvents [HMPA, DMSO, DMF, propylene carbonate (PC) and acetonitrile (MeCN)] were detd. IR spectroscopy in the range 2000-2100 cm⁻¹ was applied to the detn. of equil. consts and enthalpies of ionic lithium thiocyanate assocn. in PC and in MeCN. The std. enthalpies of soln. ($\Delta H_{\text{sol}}^{\circ}$) in the highly ionizing solvents, HMPA and DMSO, were obtained by the Criss and Cobble method. Connection of the spectroscopic and calorimetric data also enabled the calcn. of $\Delta H_{\text{sol}}^{\circ}$ in the other three solvents where ion pairing occurs to a large extent. The std. enthalpy of soln. of LiSCN depends mainly on the basicity of the solvent.

(SHSB)

C.A. 1990, 113, N 24

LiCN

011 35-634

1991

23 Б3027. Термодинамические следствия тройной изомерии в системе LiCN. On the thermodynamic consequences of the threefold isomerism in the LiCN system. Slanina Z., Adamowicz L. // Thermochim. acta.— 1991.— 184, № 1.— С. 109—116.— Англ.

(Кр, что нечел)

Теоретически исследовано влияние изомерии на термодинамику системы LiCN. Система LiCN рассматривается как равновесная смесь трех изомеров: изоцианида лития LiNC (I), мостиковой Т-образной структуры — LiCN(T) (II) и цианида лития — LiCN (III). Обсуждены возможные структуры, энергетика, относит. устойчивость изомеров и эффекты их взаимодействия. Наименее устойчивым изомером является III. При низких т-рах преобладает I, а при умеренных и высоких т-рах I и II присутствуют в равновесной смеси в сравнимых кол-вах, в то время как III присутствует в очень малых кол-вах. С использованием двух различных подходов рассчитаны вклады изомеров в термодинамич. св-ва системы LiCN. Изомерный вклад в теплоемкость при

Х. 1991, № 23

постоянном давл. показывает типичную т-рную зависимость с явным максимумом при низких т-рах. Кратко обсуждена роль структурной гибкости при рассмотрении термодинамич. следствий изомерии. В. Ф. Байбуз



LSCN

1991

13 Б3151. Специфические взаимодействия между катионами и анионами в протофобных аprotонных растворителях. Образование ионных тройников и более высоких агрегатов из роданидов лития и трибутиламмония. Specific interaction between anions and cations in protophobic aprotic solvents: Triple-ion and higher aggregate formation from lithium and tributylammonium thiocyanates / Hojo M., Mivauchi Yoshihiro, Tanio Atsuhiko, Imai Yoshihiko // J. Chem. Soc. Faraday Trans. — 1991. — 87, № 24.— С. 3847—3852.— Англ.

(Kc)

При 25°C измерена электропроводность р-ров MSCN ($M=\text{Li}$ и Bu_3NH) различной конц-ии (C) в ряде протофобных аprotонных р-рителей: нитробензоле, бензонитриле, ацетонитриле, нитрометане и пропиленкарбонате. На основе эксперим. данных изучено образование, наряду с ионными парами, ионных тройников (ИТ) и квадруполей (КВ). С учетом поправки на коэф. активности ионов рассчитаны и табулированы

X.1992, N/3

константы образования ионной пары (K_1^a): $M^+ + SCN^- \rightleftharpoons MSCN$; симм. ИТ (соотв., K_2^a и K_3^a): $2M^+ + SCN^- \rightleftharpoons (M^+)_2SCN^-$ и $M^+ + 2SCN^- \rightleftharpoons M^+(SCN^-)_2$ ($K_2^a = K_3^a$) и КВ (соотв., K_4^a и K_5^a): $(M^+)_2SCN^- + SCN^- \rightleftharpoons (SUSCN)_2$ и $M^+ + M^+(SCN^-)_2 \rightleftharpoons (MSCN)_2$ ($K_4^a = K_5^a$). Изучено влияние отношения Λ_t/Λ_0 на электропроводность, где Λ_t и Λ_0 — соотв., мол. проводимости ИТ и простых ионов при бесконечном разбавлении. Обнаружено заметное увеличение образования ИТ из LiSCN в нитрометане: $K_1^a = 5,5 \cdot 10^4$; $K_2^a = K_3^a = 8,0 \cdot 10^7$ и $\Lambda_t/\Lambda_0 = 0,4$ (с учетом изменений ионной атмосферы и вязкости). При увеличении конц-ии соли образуется КВ, на что указывает исчезновение минимума на кривой $\Lambda - C^{1/2}$. Степень образования ИТ из n-Bu₃NHSCN гораздо ниже, чем из LiSCN, а образование КВ вообще не обнаружено в изученных р-рителях. Образование ИТ $(Li^+)_2SCN^-$ подтверждено спектрофотометрич. методом.

И. Е. Кузинец



Li⁺. NCR

1991

Musaev D.F., Leskin M.
et al.,

Мусаев

Лескин
1991, № 36 (II), 2889-94.

(але. АСН); (I)

LiCN

1991

115: 148857y On the thermodynamic consequences of the threefold isomerism in the lithium cyanide system. Slanina, Zdenek; Adamowicz, Ludwik (Max-Planck-Inst. Chem., W-Göttingen Mainz, Fed. Rep. Ger.). *Thermochim. Acta* 1991, 184(1), 109-16 (Eng). The LiCN system which was recently characterized computationally, is considered to be an equil. mixt. of three isomeric species (lithium isocyanide, a bridged species and lithium cyanide). While the isocyanide prevails at low temps., at moderate and higher temps. the isocyanide and bridged species can exhibit comparable stability or even stability interchange. The overall std. heat capacity at const. pressure shows a clear temp. max.; the isomeric enhancement of heat

(P)

115 148857y 1.2

C.A.1991, 115, N14

LisCN

Om. 36770

1992

Гафуров М.М., Амсев А.Р.
и др.,

Tr,
(лк-спектр) Укр. хим. журн. 1992,
58, №9, 711 - 721.

LiCN

1992

Jenkins Harry,
Donald B.

$\Delta_f H^\circ$

Z. Phys. Chem. (Munchen)
1992. 177, N^o. C. 157-171,

(c.c. Na CN; T)

1994

Li-CN-HH

LiNH(CH₃)₂

и др.

термическ
разложени

З Б3063. Термическое разложение амидов лития: исследование методом матричной изоляции. Thermal decomposition of lithium amides: A matrix isolation investigation /Withnall Robert, Dunkin Ian R., Snaith Ronald //J. Chem. Soc. Perkin Trans. 2.—1994.—№ 9.—С. 1973—1977.—Англ.

Методом матричной изоляции в комбинации с ИК-спектроскопией исследованы р-ции и продукты термич. разложения амидов лития. Термич. разложение диметиламида лития, диэтиламида лития и дизопропиламида лития происходит, по-видимому, через механизм отщепления гидрида лития с образованием N-метиленметиламина, N-этилиденэтиламина и N-изопропилиденизопропиламина соотв. Дибензиламид лития разлагается путем разрыва связей углерод—азот и углерод—углерод, давая толуол и бензол. Бис(триметилсилил)амид лития испаряется при т-рах выше 70° С без разложения. В. Ф. Баубуз

Х. 1995, № 3

1995

F: Li₂CN

P: 1

8Б1277. Структура молекулы Li[2]CN и ее стабильность. Изучение экспериментальными и неэмпирическими методами. Structure and stability of the Li[2]CN molecule. An experimental and ab initio study / Kudo Hiroshi, Hashimoto Masashi, Yokoyama Keiichi, Wu C. H., Dorigo Andrea E., Bickelhaupt F. Matthias, Von Rague Schleyer Paul // J. Phys. Chem. - 1995. - 99, N 17. - С. 6477-6482. - Англ. Место хранения ГПТБ Молекулы

Li[2]CN обнаружены методом МС с эффильтационной ячейкой Кнудсена. Измерены ПТ ионизации и энергия диссоциации LiNC-Li, равная 32,7'+'3,3 ккал/моль. Расчетное значение энергии диссоциации этой связи составляет 24,4 ккал/моль. Предпочтительная структура имеет симметрию C[s] и лучше всего описывается как соль катиона Li[2]{+} и аниона CN{-}. Библ. 30.

Р.Ж.Х. N8, 1996

Lid CN 1996

Hiroshe Tendo, Masashi
Hashimoto. et al.,

Thermodyn. Stability and Opti-
mized Structures of Hy-
(Li, Na, K) prevalent molecules $M_2 EN$

14th IUPAC Conference on
Chemical Thermo dyn. Abstracts.
Osaka, 1996, p. 207

Yi CN

*Krygler
MacCorkle*

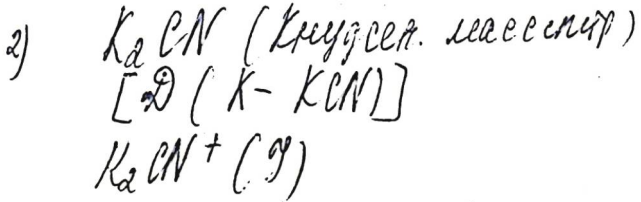
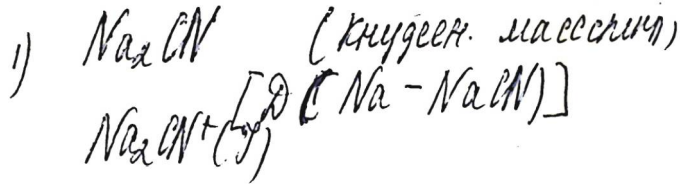
Li₂CN⁺(g) A
Li₂CN[D(Li-Li)]

C. A. 1997, 127, N 22

1997

127: 311606z Thermodynamic stability and optimized structures of hypervalent molecules M_2CN ($M = Li, Na, K$). Kudo, Hiroshi; Hashimoto, Masashi; Yokoyama, Keiichi; Wu, C. H.; Schleyer, P.v. R. (Department of Chemistry, School of Science, Tohoku University, Sendai 980-77, Japan). *Thermochim. Acta* 1997, 299(1-2), 113-121 (Eng), Elsevier. The hypervalent M_2CN ($M = Li, Na, K$) mols. have been detected in the vapor at elevated temps. over mixts. of alkali metals and sodium cyanide by means of Knudsen-effusion mass spectrometry. The exptl. obtained ionization energies were $IP(Li_2CN^+) = 5.4 \pm 0.2$ eV, $IP(Na_2CN^+) = 4.9 \pm 0.2$ eV, and $IP(K_2CN^+) = 4.0 \pm 0.2$ eV, agreeing well with the theor. values 5.13, 4.66 and 3.7 eV, resp., calcd. for the vertical ionization. The energies of dissocn. into MCN and M were $D_0^\circ(LiNC-Li) = 137 \pm 14$ kJ/mol, $D_0^\circ(NaCN-Na) = 104 \pm 14$ kJ/mol, and $D_0^\circ(KCN-K) = 81 \pm 8$ kJ/mol. Although the theor. calcd. values were slightly lower (103.8 kJ/mol for Li_2CN , 72.8 kJ/mol for Na_2CN , and 74.5 kJ/mol for K_2CN), the dissocn. energies indicate moderately strong bonding of alkali metals to the alkali cyanides (MCN) of octet mols. The agreement between expt. and theory confirms the existence of the M_2CN species, which are the hypervalent mols. with more than one electroneg. atom. The theor. optimized structures of M_2CN are quite similar to each other, with four isomers (two planar structures with C_s symmetry and two linear structures with $C_{\infty v}$ symmetry), although there are differences in bond length. The favored structure of M_2CN has C_s symmetry and is best described as a complex of the CN^- anion with the M_2^+ cation.

HG 68



Liz CN

1998

Kudo, Hiroshi,

Hyper. u
neopen.
KCSNGB.
matsum., Phys.
pravoz
Bulg

Phys.
Cond.
Phys.
23-31

Chem.
Fierdam
Chem.,

98, Int.
Appl. Aspects
4th 1998,

(all.



Liz C; J)

1999

F: Li₂CN

P: 1

131:9853 Hypervalent bonding in alkali metal cyanides detected by high-temperature mass spectrometry. Kudo, Hiroshi; Hashimoto, Masashi; Tanaka, Hiromasa; Yokoyama, Keiichi (Department of Chemistry, Graduate School of Science, Tohoku University, Sendai 980-8578, Japan). J. Mass Spectrom. Soc. Jpn., 47(1), 2-9 (English) 1999 We present a combined exptl. and theor. study on the nature of hypervalent bonding in such mols. as Li₂CN, Na₂CN, K₂CN, and Li₂OH. The mols. M₂CN (M = Li, Na, K) were obsd. in the vapor over a mixt. of alkali metals and sodium cyanide by high-temp. Knudsen effusion mass spectrometry and Li₂OH was detected by time-of-flight mass spectrometry for a mol. beam generated by laser

ablation of slightly oxidized lithium metal. Despite their unusual stoichiometries, these mols. were confirmed to be thermodynamically more stable than the corresponding octet mols. (MCN, LiOH). Computational geometry optimization gives four possible structural isomers to each M₂CN mol.; i.e., two planer structures with Cs symmetry and two linear structures with C_{2v} symmetry. The planar M₂CN mols. are favored and best described as a complex of the CN⁻ anion with the M²⁺ cation. The extra valence electron in SOMO contributes to M-M bonding to form the M²⁺ unit. The linear M₂CN mols. are "electronomers" described as M⁺(CN)⁻M⁻ and M⁻(CN)⁻M⁺. The Li₂OH mol. with C_{2v} symmetry comprises the Li²⁺ and OH⁻ units, and the electrostatic attraction afford the stable mol., similar to the planar M₂CN.

F: Li₂CN

P: 1

131:9853 Hypervalent bonding in alkali metal cyanides detected by high-temperature mass spectrometry. Kudo, Hiroshi; Hashimoto, Masashi; Tanaka, Hiromasa; Yokoyama, Keiichi. (Department of Chemistry, Graduate School of Science, Tohoku University, Sendai 980-8578, Japan). J. Mass Spectrom. Soc. Jpn., 47(1), 2-9 (English) 1999 We present a combined exptl. and theor. study on the nature of hypervalent bonding in such mols. as Li₂CN, Na₂CN, K₂CN, and Li₂OH. The mols. M₂CN (M = Li, Na, K) were obsd. in the vapor over a mixt. of alkali metals and sodium cyanide by high-temp. Knudsen effusion mass spectrometry and Li₂OH was detected by time-of-flight mass spectrometry for a mol. beam generated by laser ablation of slightly oxidized lithium metal. Despite their unusual

stoichiometries, these mols. were confirmed to be thermodynamically more stable than the corresponding octet mols. (MCN, LiOH). Computational geometry optimization gives four possible structural isomers to each M₂CN mol.; i.e., two planer structures with Cs symmetry and two linear structures with C_{2v} symmetry. The planar M₂CN mols. are favored and best described as a complex of the CN⁻ anion with the M²⁺ cation. The extra valence electron in SOMO contributes to M-M bonding to form the M²⁺ unit. The linear M₂CN mols. are "electronomers" described as M⁺(CN)⁻M⁻ and M⁻(CN)⁻M⁺. The Li₂OH mol. with C_{2v} symmetry comprises the Li²⁺ and OH⁻ units, and the electrostatic attraction afford the stable mol., similar to the planar M₂CN.

$\text{Li}(\text{CH}_2=\text{CHCN})_n$ (m. 41080)

2000
in

Keijiro Ohshima,
Fuminori Misaike et al.)

J. Phys. Chem. 2000, A104,

765-770.

Anionic Oligomerization of
Acrylonitrile Molecules.